

การประชุมวิชาการเครือข่ายวิศวกรรมเครื่องกลแห่งประเทศไทยครั้งที่ 14
2-3 พฤษภาคม 2543 โรงแรม โนโวเทล จังหวัดเชียงใหม่

หุ่นยนต์ช่วยรักษาความปลอดภัย

Security Enhancement through Robotics Technology: SECBOT

ชิด เหลวัฒนา และกฤศพร บุญแท้

ศูนย์ปฏิบัติการพัฒนาหุ่นยนต์ภาคสนาม(พีโน้ม) มหาวิทยาลัยเทคโนโลยีพระจอมเกล้าธนบุรี

91 ถ.ประชาอุทิศ แขวงบางมด เขตทุ่งครุ กรุงเทพฯ 10140

โทร 66(2)470-9339, 66(2)470-9129 โทรสาร 66(2)470-9339, E-mail: thodsaporn1@yahoo.com

1. บทคัดย่อ

โครงการวิจัยนี้ได้นำเทคโนโลยีของหุ่นยนต์ มาใช้กับงานด้านช่วยรักษาความปลอดภัย โดยทำการพัฒนาหุ่นยนต์ดันแบบ ซึ่งเคลื่อนที่ด้วยล้อ แบบทุกทิศทุกทาง (Omni-directional wheel 45°) มาเพิ่มความปลอดภัยให้แก่จ้าหหน้าที่ภูริระเบิด เมื่อจำเป็นต้องเข้าไปสำรวจในบริเวณที่สงสัยว่ามีวัตถุระเบิด และ/หรือสารพิษต่างๆ การดำเนินโครงการวิจัยนี้ได้อาศัยข้อมูล พื้นฐานด้านแบบจำลองคณิตศาสตร์คิโนเมติกส์ ในการควบคุมการเคลื่อนที่ของหุ่นยนต์ นอกจากนั้นแล้วยังได้มีการทดสอบการเคลื่อนที่ของหุ่นยนต์ ปรากฏว่าผลการทดสอบด้านความเร็วมีค่าความผิดพลาดเฉลี่ย 30.83% การทดสอบรีพีททดสอบ มีความผิดพลาดเฉลี่ย 6.65%

Abstract

We implement robotics technology to enhance security in detrimental tasks. Our prototype: SECBOT benefits from a specially designed omni-directional wheel 45°. SECBOT is capable of assisting security officers in investigating bombs and toxic substances. This research project reveals a control approach for SECBOT. The test results on average velocity errors and average positional error are 30.83% and 6.65%, respectively.

2. บทนำ

ในปัจจุบันได้มีการนำหุ่นยนต์ และอุปกรณ์แมคคาทรอนิกส์มาใช้ในงานหลายประเภท ส่วนใหญ่เป็นงานทางด้าน อุตสาหกรรม ที่ต้องใช้หุ่นยนต์ทำงานแทนมนุษย์ เช่นจากลักษณะมีความเสี่ยงภัยสูง หรือสถานที่ไม่เอื้ออำนวยต่อการปฏิบัติงานของมนุษย์ งานดังกล่าวได้แก่ งานสำรวจอาคาร งานสำรวจข้าวโพลี หรือแม้กระทั่งการทำงานในโรงงานไฟฟ้านิวเคลียร์ เป็นต้น ดังนั้นหุ่นยนต์ที่เคลื่อนที่ด้วยล้อจึงเป็นทางเลือกหนึ่งที่นำมาปฏิบัติงานแทนมนุษย์ เนื่องจากมีความคล่องตัวสูง ในต่างประเทศได้มีการศึกษา ล้อหุ่นยนต์เคลื่อนที่ได้(Wheel Mobile Robots : WMR) มาเป็นเวลานานแล้ว ตัวอย่างงานวิจัยที่เกี่ยวข้องกับล้อหุ่นยนต์เคลื่อนที่ได้ ได้แก่ Terregator[1] เป็นหุ่นยนต์ที่เคลื่อนที่ด้วยล้อ หก ล้อ นำไปประยุกต์ใช้งานในการสำรวจ ขันถ่าย วัสดุอุปกรณ์ต่างๆ ในบริเวณโรงงานไฟฟ้านิวเคลียร์ หุ่นยนต์ APRA's UGV[2] เป็นหุ่นยนต์ที่ใช้ในการสำรวจภูมิประเทศที่เป็นทุ่งหญ้า หุ่นยนต์ Hero2000[3] เป็นหุ่นยนต์ที่สามารถหอบหลักสิ่งกีดขวางได้ด้วยตัวเอง Harunobu[4] เป็นหุ่นยนต์ที่สามารถเคลื่อนที่ไปตามท้องถนนโดยสามารถหลบหลีกสิ่งกีดขวางที่เคลื่อนไหวได้

โครงการหุ่นยนต์ช่วยรักษาความปลอดภัย เป็นโครงงานที่ได้นำข้อมูลพื้นฐานจากงานวิจัยเรื่อง MOBO 2.0 An Omnidirectional Wheeled Mobile Robot มาพัฒนาสร้างเป็นหุ่นยนต์ดันแบบ เพื่อใช้ในงานจริง โดยเป็นการนำเอาความสามารถพิเศษของ ฐานเคลื่อนที่ได้(mobile base) แบบ omnii(Omni-directional wheel) 45 องศา ที่สามารถเคลื่อนที่ไปได้ทุกทิศทาง เพื่อลดระยะทาง และเวลาที่ใช้ในการเคลื่อนที่ โครงงานวิจัยอาศัยทฤษฎีการควบคุมความเร็วมาใช้กับตัวหุ่นยนต์ และมีการเลือกใช้กล้องโทรทัศน์วงจรปิด(CCTV) แบบไร้สาย อุปกรณ์ควบคุมระยะไกล โดยติดตั้งเข้ากับตัวหุ่น

โครงงานหุ่นยนต์ช่วยรักษาความปลอดภัย เป็นโครงงานที่ได้นำข้อมูลพื้นฐานจากงานวิจัยเรื่อง MOBO 2.0 An Omnidirectional Wheeled Mobile Robot มาพัฒนาสร้างเป็นหุ่นยนต์ดันแบบ เพื่อใช้ในงานจริง โดยเป็นการนำเอาความสามารถพิเศษของ ฐานเคลื่อนที่ได้(mobile base) แบบ omnii(Omni-directional wheel) 45 องศา ที่สามารถเคลื่อนที่ไปได้ทุกทิศทาง เพื่อลดระยะทาง และเวลาที่ใช้ในการเคลื่อนที่ โครงงานวิจัยอาศัยทฤษฎีการควบคุมความเร็วมาใช้กับตัวหุ่นยนต์ และมีการเลือกใช้กล้องโทรทัศน์วงจรปิด(CCTV) แบบไร้สาย อุปกรณ์ควบคุมระยะไกล โดยติดตั้งเข้ากับตัวหุ่น

ยนต์ เพื่อสามารถควบคุมและส่งภาพได้ในระยะ 150-200 เมตร

คันผู้ใช้ได้ศึกษาและวิจัย ลักษณะของล้อ omnิ แบบ 45 องศา ทฤษฎีทางด้าน การออกแบบคินเมติกส์ ของฐานเคลื่อนที่ได้ (mobile base) ที่อธิบายเชิงคณิตศาสตร์ของส่วนประกอบต่างๆของล้อและส่วนที่ล้อสัมผัสนับพื้นให้มาอยู่ในรูปของ เมตริกซ์พิชคณิต(matrix algebra) และการสร้างเมตริกซ์ Jacobian matrix ของ หุ่นยนต์ช่วยรักษาความปลอดภัย

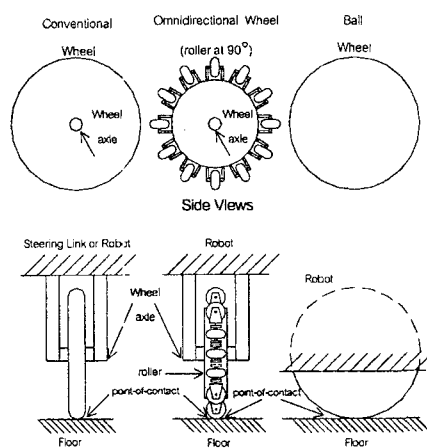
3. ทฤษฎีพื้นฐาน

ล้อที่ใช้กับ ฐานเคลื่อนที่ได้(Mobile base) มีด้วยกันสามแบบ คือ

1 ล้อปกติ(Conventional Wheel) มีสององศาสือ คือ มีการเคลื่อนที่ตามแนวพื้นที่ผิวของล้อตามแนวการวางล้อ และ การหมุนที่จุดสัมผัสระหว่างล้อ กับพื้น โดยในการใช้งานจริงมีการติดตั้งกลไกการหมุน(Steering mechanism) เพื่อเพิ่มองศาสือขึ้นเป็นสามองศาสือ

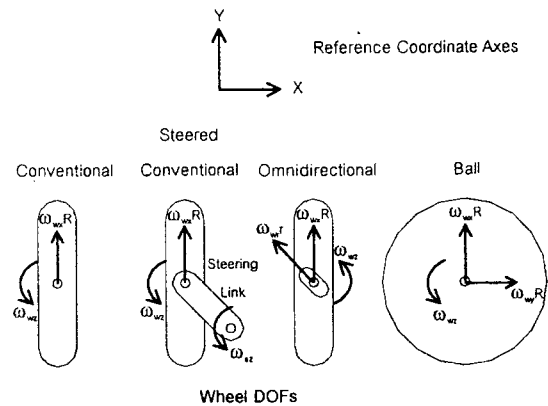
2 ล้อ omnิ(Omni-directional Wheel) มีสามองศาสือ ประกอบด้วยองศาสือที่หนึ่งคือทิศทางตามแนวการวางล้อ องศาสือที่สองเกิดจากการหมุนของลูกกลิ้งที่ติดอยู่รอบๆ ของล้อ ในทางทฤษฎีมุขของ ลูกกลิ้ง สามารถทำมุมเท่าไรก็ได้เนื่องจากศูนย์ และองศาสือที่สามเกิดจากการหมุนที่จุดสัมผัสระหว่างลูกกลิ้ง และพื้น

3 ล้อนอล(Ball Wheel) ซึ่งมีความสามารถในการทำการเคลื่อนที่ได้มากที่สุด มีสามองศาสือโดยไม่มีการลื่น(Slip) แต่ การบารุงรักษา มีความยากลำบากพอสมควรตลอดจนความสามารถในการรับน้ำหนักยังจำกัดอีกด้วย



รูปที่ 1 ล้อปกติ ล้อ omnิ และล้อนอล

ความสัมพันธ์ทางด้าน คินเมติกส์ ของล้อแบบต่างๆ แสดงดังรูปที่ 2



รูปที่ 2 ความสัมพันธ์ทางด้าน คินเมติกส์ ของล้อแบบต่างๆ

จากรูปสามารถแสดงความสัมพันธ์ทางด้าน คินเมติกส์ ได้เป็นสมการทางคณิตศาสตร์ดังแสดงในตารางที่ 1

ตารางที่ 1 ความสัมพันธ์ทางด้าน คินเมติกส์ ของล้อแบบต่างๆ

| Conventional และ Steered Conventional | Omnidirectional | Ball |
|---|--|--------------------------|
| $V_y = \omega_{wx} R$ | $V_y = \omega_{wx} R - \omega_{wr} r \cos(\theta)$ | $V_y = \omega_w R$ |
| $V_x = 0$ | $V_x = \omega_{wr} r \sin(\theta)$ | $V_x = \omega_{xy} R$ |
| $\omega_z = \omega_{wz}$ | $\omega_z = \omega_{wz}$ | $\omega_z = \omega_{wz}$ |

เมื่อ V_x และ V_y คือ ส่วนประกอบตามแนวแกน x และ y ของความเร็วของล้อที่จุดสัมผัส

ω_z คือ ส่วนประกอบตามแนวแกน z ของความเร็ว เชิงมุมของล้อที่จุดสัมผัส

ω_{wr} คือ ความเร็วเชิงมุมของ ลูกกลิ้ง รอบแกน

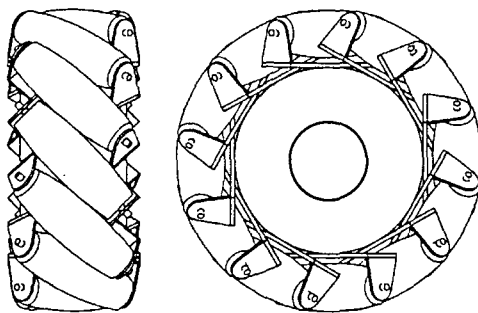
$\omega_{wx}, \omega_{wy}, \omega_{wz}$ คือ ส่วนประกอบตามแนวแกน x, y และ z ของความเร็วเชิงมุมของล้อรอบจุดศูนย์กลาง

ω_{sz} คือ ความเร็วเชิงมุมของกลไกการหมุน (Steering mechanism) รอบแกนหมุน

θ คือ มุมของแกนลูกกลิ้ง ที่จะทำกับแกนล้อ

R และ r คือ รัศมีของล้อ และ ลูกกลิ้ง ตามลำดับ

ลักษณะของ ล้อ omnิ ที่ใช้ในการเคลื่อนที่ของหุ่นยนต์ช่วยรักษาความปลอดภัย แสดงดังรูปที่ 3



รูปที่ 3 ลักษณะของ ล้อ omnni(Omni-directional wheel 45°)

3.1 รูปแบบสมการทางคณิตศาสตร์ของคิเนแมติกส์

ในบทความนี้เราจะแสดงวิธีการในการจำลองคิเนแมติกส์ของ ล้อหุ่นยนต์เคลื่อนที่ได้(Wheel Mobile Robot : WMR) โดยให้ส่วนที่ล้อสัมผัสกับพื้น เป็นแบบการต่อโยงแบบหลายชั้นต่อโยง(higher-pair joint) และแปลงให้อยู่ในรูปของสมการ เมตริกซ์

3.1.1 นิยามและข้อสมมุติ

ล้อหุ่นยนต์เคลื่อนที่ได้(WMR) สามารถเคลื่อนที่บนพื้นผิวด้วยผ่านการรุนของล้อที่ประกอบอยู่บนตัวหุ่นยนต์ และสัมผัสกับพื้นผิว ล้อรวมเป็นอุปกรณ์ตัวหนึ่งซึ่งยอมให้การเคลื่อนที่สัมพันธ์ระหว่างตัวมันเองและพื้นผิว มีจุดสัมผัสการหมุนเพียงจุดเดียว (single point of rolling contact)

ข้อสมมติในการออกแบบ

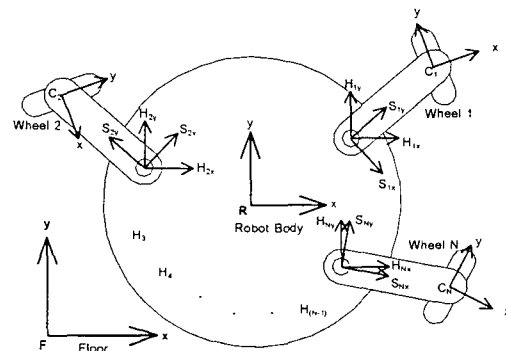
1. ล้อหุ่นยนต์เคลื่อนที่ได้ ต้องไม่เป็นชั้นส่วนที่ยึดหมุน
2. ล้อแต่ละล้อสามารถมีชั้นต่อโยงบังคับเลี้ยวเพียงหนึ่งชั้นต่อโยง หรือไม่มีเลย
3. แกนบังคับเลี้ยวทั้งหมดต้องตั้งฉากกับพื้นผิว

ข้อสมมติในการทำงาน

1. ล้อหุ่นยนต์เคลื่อนที่ได้นี้เคลื่อนที่บนพื้นผิวระนาบ
2. ความเสียดทานของการเคลื่อนที่ที่จุดสัมผัสระหว่างล้อและพื้นผิวต้องมากพอที่ไม่ทำให้เกิดการลื่นไถล
3. ความเสียดทานของการหมุนที่จุดสัมผัสระหว่างล้อและพื้นผิวต้องมีค่าต่ำอย่างพอดีที่ทำให้เกิดการไถลของการหมุนได้

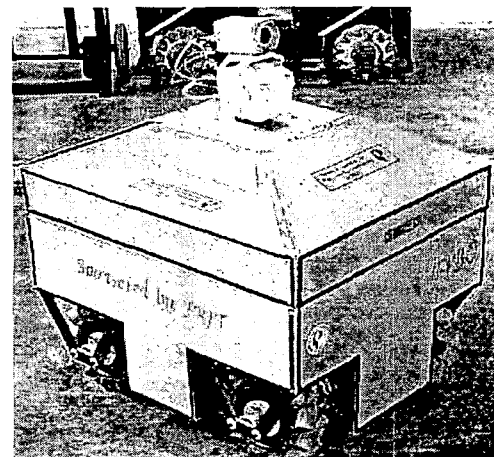
3.1.2 ระบบพิกัดจากของ ล้อหุ่นยนต์เคลื่อนที่ได้

รูปที่ 4 แสดงระบบพิกัดจากที่ปลายทั้งคู่ของทุกชั้นต่อโยงของ WMR ชั้นต่อโยงของ กลไกปิด(closed-link chain) ของ ล้อหุ่นยนต์เคลื่อนที่ได้ พื้น ตัวหุ่นยนต์และชั้นต่อโยงบังคับเลี้ยวต่อเป็น แบบหมุน(revolute) สำหรับล้อหุ่นยนต์เคลื่อนที่ได้ นี่มีจำนวน N ล้อ การกำหนดระบบพิกัดจากจำนวนแกนจึงเป็น $3N+1$ กับตัวหุ่นยนต์และหนึ่งแกนที่ใช้ยังอิ่ง



รูปที่ 4 การตั้งแกนของระบบพิกัดจาก

4. จาโคเบียนของหุ่นยนต์ช่วยรักษาความปลอดภัย



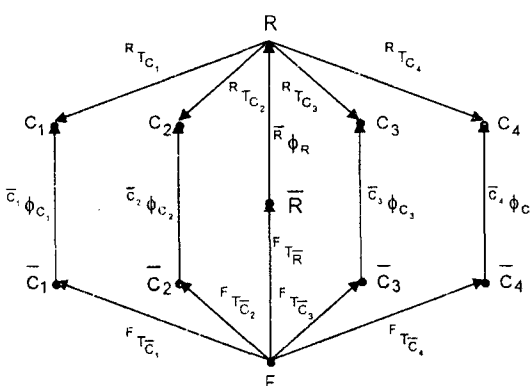
รูปที่ 5 ลักษณะของหุ่นยนต์ช่วยรักษาความปลอดภัย

รูปที่ 5 แสดงหุ่นยนต์ช่วยรักษาความปลอดภัย ซึ่งเป็นหุ่นยนต์ที่เคลื่อนได้ทุกทิศทางโดยใช้ล้อ omnni 45 องศา โดยการเคลื่อนที่ของหุ่นยนต์สามารถควบคุมบังคับด้วย จอยสติ๊ก (Joystick) ผ่านอุปกรณ์ส่งสัญญาณไร้สาย นอกจากนั้นหุ่น

ยนต์ยังส่งภาพที่รับได้จากกล้องโทรทัศน์วงจรปิด(CCTV) แบบไร้สาย กลับมายังเจ้าหน้าที่ภาระเบิด

การเคลื่อนที่ของหุ่นยนต์ที่ใช้ล้อแบบ omnni สามารถเคลื่อนที่ได้สามองศาอิสระ บนระนาบ คือ การเคลื่อนที่เดินหน้า-ถอยหลัง การเคลื่อนที่ด้านข้างซ้าย-ขวา และการหมุนรอบตัวเอง ซึ่งการเคลื่อนที่ในทั้งสามทิศทางนั้นเกิดจากผลรวมของการหมุนล้อของหุ่นยนต์ล้อ

จาโคเบียน เป็นสมการที่ใช้ในการเปลี่ยนการหมุนของล้อแต่ละล้อซึ่งอยู่ใน จอยน์สเปซ (joint space)ให้เป็นการเคลื่อนที่ของหุ่นยนต์ใน คาร์ทีเซียนสเปซ (cartesian space) ดังรูปที่ 6



รูปที่ 6 แผนภูมิการแปลงหุ่นยนต์ (Transformation diagram of Security Robot)

ตารางที่ 2 การกำหนดสัญลักษณ์ในระบบพิกัดณาของหุ่นยนต์ช่วยรักษาความปลอดภัย

| |
|--|
| $F = \text{floor}$: ระบบพิกัดอ้างอิงที่หยุดนิ่ง ซึ่งแกนตั้งฉากกับเส้นทางเดิน |
| $R = \text{Robot}$: ระบบพิกัดซึ่งเคลื่อนที่ไปกับตัวหุ่นยนต์ ซึ่งแกนตั้งฉากกับพื้นของเส้นทางเดิน |
| $C = \text{Contact Point (for } i=1,\dots,n \text{)}$: ระบบพิกัดที่เคลื่อนที่ไปกับ ชิ้นต่อโดยบังคับเลี้ยวจุด origin ที่จุดสมดุลระหว่างล้อและพื้นผิว แกน y ขนานไปกับล้อ และระนาบ xy สัมผัสกับพื้นผิว |
| $\bar{R} = \text{Instantaneously Coincident Robot}$: ระบบพิกัดที่ทับกันสนิทกับระบบพิกัด R และหยุดนิ่งขณะเทียบกับระบบพิกัด F |
| $\bar{C}_i = \text{Instantaneously Coincident Contact Point (for } i=1,\dots,n \text{)}$: ระบบพิกัดที่ทับกันสนิทกับ C_i และหยุดนิ่งขณะเทียบกับระบบพิกัด F |

$\bar{R} \prod_R = \text{ผลรวมของการทราบสภาพเมื่อนำ } \bar{R} \text{ ไปยัง } R$

$\omega = \text{ความเร็วเชิงมุม}$

$v = \text{ความเร็วเชิงเส้น}$

$\dot{\phi} = \text{ความเร็วใน การที่เชื่อมสเปซ}$

$J = \text{สมการจากรากเบี้ยน}$

Transformation ของหุ่นยนต์ช่วยรักษาความปลอดภัย แสดงได้ดังนี้

$$\bar{R} \prod_R = {}^F T_R^{-1} \cdot {}^F T_{\bar{C}_i} \cdot \bar{C}_i \phi_{C_i} \cdot {}^R T_{C_i}^{-1} \quad (1)$$

$$\bar{R} \dot{\prod}_R = {}^F T_R^{-1} \cdot {}^F T_{\bar{C}_i} \cdot \bar{C}_i \dot{\phi}_{C_i} \cdot {}^R T_{C_i}^{-1} \quad (2)$$

$${}^F T_{C_i} = {}^F T_R \cdot {}^R \phi_R \cdot {}^R T_{C_i} \bar{C}_i \phi_{C_i}^{-1} \quad (3)$$

นำตัวแปรของสมการที่ (3) แทนค่าในสมการที่ (2)

$$\bar{R} \dot{\prod}_R = {}^F T_R^{-1} \cdot {}^F T_R \cdot {}^R \phi_R \cdot {}^R T_{C_i} \bar{C}_i \phi_{C_i}^{-1} \cdot \bar{C}_i \dot{\phi}_{C_i} \cdot {}^R T_{C_i}^{-1} \quad (4)$$

$$\bar{R} \dot{\prod}_R = {}^R T_{C_i} \bar{C}_i \phi_{C_i}^{-1} \cdot \bar{C}_i \dot{\phi}_{C_i} \cdot {}^R T_{C_i}^{-1} \quad (5)$$

เมื่อนำค่าเฉพาะกรณีของ หุ่นยนต์ช่วยรักษาความปลอดภัย มาแทนในสมการที่ (5) ได้

$$\begin{bmatrix} 0 & -\bar{R} \omega_R & 0 & \bar{R} v_{R_y} \\ \bar{R} \omega_R & 0 & 0 & -\bar{R} v_{R_x} \\ 0 & 0 & 0 & 0 \\ 0 & 0 & 0 & 0 \end{bmatrix} = \begin{bmatrix} 0 & -\bar{C}_i \omega_{C_i} & 0 & \bar{C}_i \omega_{C_i} \cdot {}^R d_{C_i} + \bar{C}_i v_{C_i} \\ \bar{C}_i \omega_{C_i} & 0 & 0 & -\bar{C}_i \omega_{C_i} \cdot {}^R d_{C_i} + \bar{C}_i v_{C_i} \\ 0 & 0 & 0 & 0 \\ 0 & 0 & 0 & 0 \end{bmatrix} \quad (6)$$

$$\bar{R} v_{R_y} = -\bar{C}_i \omega_{C_i} \cdot {}^R d_{C_i} + \bar{C}_i v_{C_i} \quad (7)$$

$$\bar{R} v_{R_x} = \bar{C}_i \omega_{C_i} \cdot {}^R d_{C_i} + \bar{C}_i v_{C_i} \quad (8)$$

$$\bar{R} \omega_R = \bar{C}_i \omega_{C_i} \quad (9)$$

นำค่าอพาร์ทีของล้อทั้ง 4 ล้อมาแทนในสมการที่ (7) (8) และ(9) เพื่อให้ได้สมการ Jarvis โคเบี้ยนของหุ่นยนต์ซึ่งแสดงได้ดังสมการที่(10)

$$\begin{bmatrix} V_{R_x} \\ V_{R_y} \\ \omega_R \end{bmatrix} = \frac{1}{4} \cdot \begin{bmatrix} -r & -r & r & r \\ r & -r & -r & r \\ -\frac{r}{2l} & -\frac{r}{2l} & -\frac{r}{2l} & -\frac{r}{2l} \end{bmatrix} \cdot \begin{bmatrix} \omega_{R_1} \\ \omega_{R_2} \\ \omega_{R_3} \\ \omega_{R_4} \end{bmatrix} \quad (10)$$

สามารถเขียนสมการที่ (10) ให้อยู่ในรูปแบบทางคณิตศาสตร์ได้ดังนี้

$$\dot{P} = J \cdot \omega \quad (11)$$

ซึ่ง สมการ Jarvis โคเบี้ยนย้อนกลับ ของหุ่นยนต์ช่วยรักษาความปลอดภัยแสดงได้ดัง สมการที่ (12)และ (13)

$$\begin{bmatrix} \omega_1 \\ \omega_2 \\ \omega_3 \\ \omega_4 \end{bmatrix} = \begin{bmatrix} -\frac{1}{r} & \frac{1}{r} & -\frac{2l}{r} \\ -\frac{1}{r} & -\frac{1}{r} & -\frac{2l}{r} \\ \frac{1}{r} & \frac{1}{r} & -\frac{2l}{r} \\ \frac{1}{r} & \frac{1}{r} & -\frac{2l}{r} \end{bmatrix} \cdot \begin{bmatrix} V_x \\ V_y \\ \omega_z \end{bmatrix} \quad (12)$$

$$\omega = J^{-1} \cdot \dot{P} \quad (13)$$

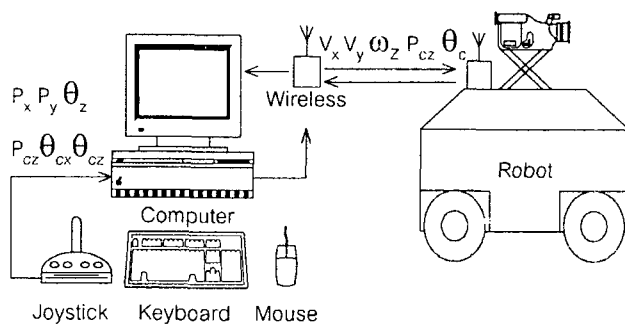
5. การส่งข้อมูลการเคลื่อนที่และภาพ

การส่งข้อมูลเพื่อควบคุมการเคลื่อนที่ของหุ่นยนต์ ให้ใช้ระบบส่งข้อมูลแบบไร้สาย ซึ่งได้ทำการส่งข้อมูลแบบRS-232 โดยขั้นตอนการทำงานมีดังนี้

- คอมพิวเตอร์รับข้อมูลตำแหน่งคันโยกของจอยสติ๊ก และเปลี่ยนให้เป็นความเร็วของหุ่นยนต์ในการที่เชิงเส้น
- คอมพิวเตอร์ทำการเปลี่ยนความเร็วของหุ่นยนต์ ให้เป็นการหมุนของล้อในจอยสเปซ โดยใช้ Jarvis โคเบี้ยนย้อนกลับในการคำนวณ

- ส่งข้อมูลออกจากคอมพิวเตอร์แบบ RS-232 โดยใช้อุปกรณ์ส่งสัญญาณไร้สาย
- หุ่นยนต์รับข้อมูล แล้วควบคุมมอเตอร์ให้หมุนด้วยความเร็วที่ต้องการ
- หุ่นยนต์ส่งข้อมูลย้อนกลับมายังคอมพิวเตอร์ เพื่อให้ผู้ควบคุมบังคับรับรู้สภาวะต่างๆของหุ่นยนต์ เช่น ความเร็วที่หุ่นยนต์เคลื่อนที่ได้จริง ระยะทางที่หุ่นยนต์เคลื่อนที่ เป็นต้น

การส่งสัญญาณภาพจากกล้องโทรศัพท์มือถือ ได้ใช้อุปกรณ์ส่งสัญญาณไร้สายmany ผู้ควบคุม โดยเครื่องรับสัญญาณได้ถูกติดตั้งไว้ในคอมพิวเตอร์ และยังสามารถรับภาพโดยใช้เครื่องรับโทรศัพท์ แสดงดัง รูปที่ 7



รูปที่ 7 แสดงการส่งข้อมูลระหว่างหุ่นยนต์กับคอมพิวเตอร์

6. การทดสอบ

การทดสอบการเคลื่อนที่ของหุ่นยนต์ เป็นการทดสอบเพื่อยืนยันข้อมูลจำเพาะเชิงเทคนิค ซึ่งการทดสอบครั้งนี้แบ่งออกเป็นหัวข้อหลักๆสองหัวดังนี้

6.1 การหาความผิดพลาดด้านความเร็ว

เป็นการทดสอบเพื่อหาค่าความผิดพลาด ณ ความเร็วต่างๆ ว่าความเร็วที่ต้องการ กับความเร็วที่หุ่นยนต์สามารถทำได้มีความแตกต่างกันมากน้อยเพียงใด และเพื่อหาความเร็วที่เหมาะสมในการทำงานของหุ่นยนต์

ขั้นตอนการทดสอบมีดังนี้

- กำหนดความเร็วที่ต้องการ(V desire)ให้หุ่นยนต์ทำงาน เพื่อให้เป็นความเร็วข้างต้น
- ให้หุ่นยนต์เคลื่อนที่ตามความเร็วที่ได้กำหนดไว้

3. บันทึกค่าความเร็วที่หุ่นยนต์ทำได้จริง (V_{actual})
4. เมรีบเทียบค่าความเร็วที่ได้ กับความเร็วที่ต้องการ
5. คำนวณค่าความผิดพลาด ที่ได้จากการทดสอบ

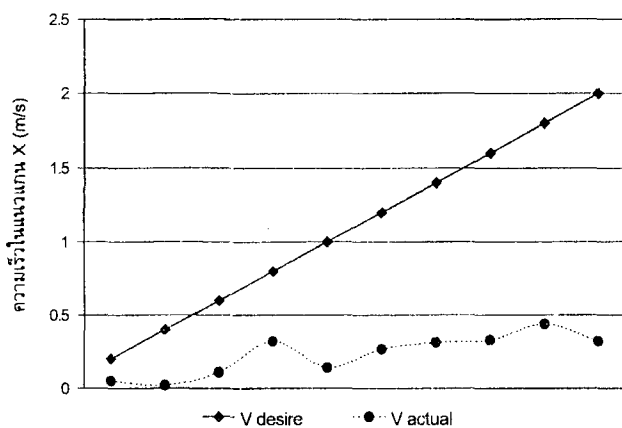
6.2 การทดสอบ รีพีทอะเบลิตี้(Repeatability)

เป็นการทดสอบ เพื่อ หาค่าความผิดพลาด ที่เกิดขึ้นเมื่อ ต้องการให้หุ่นยนต์เคลื่อนที่ไปยังตำแหน่งที่ต้องการ โดยการให้ หุ่นยนต์เคลื่อนที่ซ้ำตำแหน่งเดิม

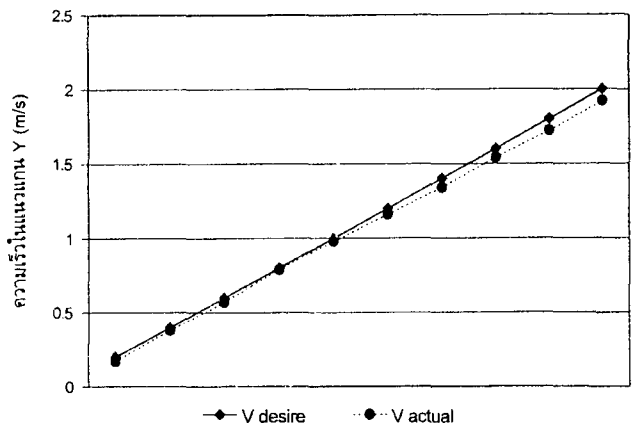
ขั้นตอนการทดสอบมีดังนี้

1. กำหนดระยะเวลาการเคลื่อนที่ เพื่อให้เป็น เงื่อนไขใน การทดสอบ
2. ทำการกำหนดตำแหน่งเริ่มต้น การเคลื่อนที่ของหุ่น ยนต์
3. ปล่อยหุ่นยนต์ให้เคลื่อนที่ ตามระยะเวลาที่กำหนดไว้
4. ให้หุ่นยนต์เคลื่อนที่กลับในทิศทางเดิม
5. วัดระยะที่หุ่นยนต์เคลื่อนที่ผิดพลาด และบันทึกผล
6. คำนวณ ค่า ความผิดพลาด ที่ได้จากการทดสอบ

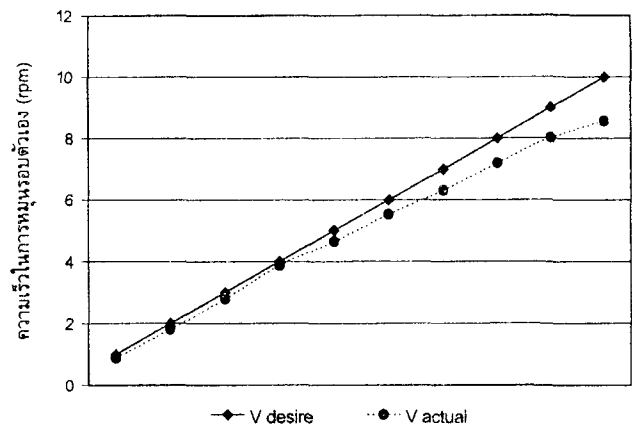
6. ผลการทดสอบ



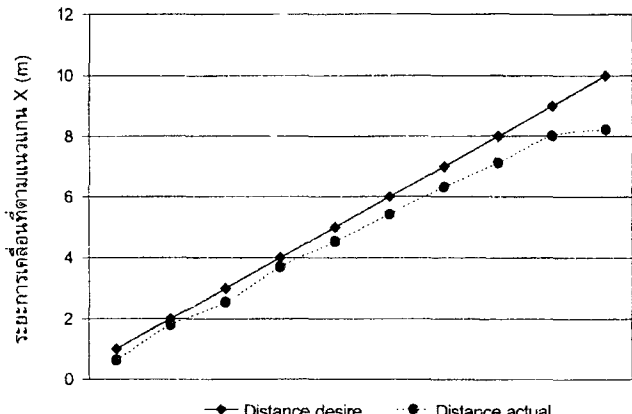
รูปที่ 8 แสดงการเปรียบความเร็วในแนวแกน X



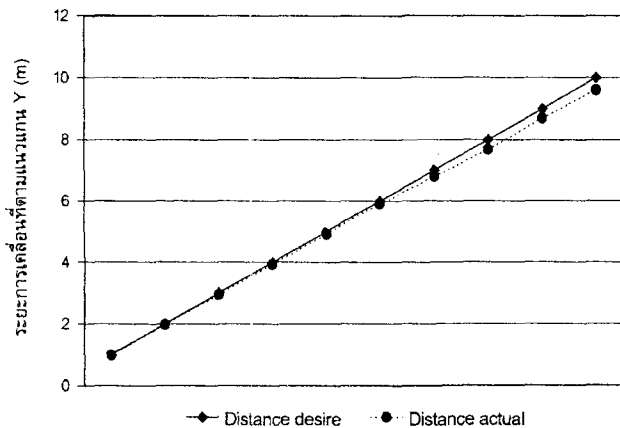
รูปที่ 9 แสดงการเปรียบเทียบความเร็วในแนวแกน Y



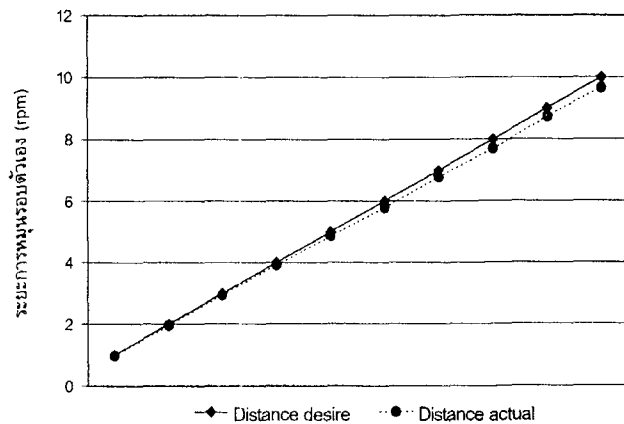
รูปที่ 10 แสดงการเปรียบเทียบความเร็วในการหมุนรอบตัว เอง



รูปที่ 11 แสดงการเปรียบเทียบ รีพีทอะเบลิตี้ ที่หุ่นยนต์ เคลื่อนที่ในแนวแกน X



รูปที่ 12 แสดงการเปรียบเทียบ รีพีทอะเบลิตี้ ที่หุ่นยนต์ เคลื่อนที่ในแนวแกน Y



รูปที่ 13 แสดงการเปรียบเทียบ รีพีทอะเบลิตี้ ที่หุ่นยนต์ หมุนรอบตัวเอง

จากการทดสอบหาความผิดพลาดด้านความเร็ว ปรากฏว่า ความเร็วที่หุ่นยนต์ทำได้จริงในแนวแกน Y และการหมุนรอบตัวเอง มีความสัมพันธ์ไปในทิศทางเดียวกัน กับความเร็วที่ต้องการ แต่ก็ยังมีความผิดพลาดที่เพิ่มขึ้นอย่างต่อเนื่อง ซึ่งเป็นผลมาจากการลื่นไถลของล้อ ส่วนความเร็วที่หุ่นยนต์ทำได้จริงในแนวแกน X มิได้มีความสัมพันธ์กับความเร็วที่ต้องการ โดยความผิดพลาดที่เกิดขึ้น นักจากจะเกิดจากการลื่นไถลแล้ว ยังเป็นผลมาจากการไม่เหมาะสมของโครงสร้างหุ่นยนต์ กลไกของล้อ และพื้นที่ที่ได้ทำการทดสอบอีกด้วย

จากการทดสอบ รีพีทอะเบลิตี้(Repeatability) ปรากฏว่า การเคลื่อนที่ในแนวแกน Y และการหมุนรอบตัวเองมีความผิดพลาดเพียงเล็กน้อย แต่ความผิดพลาดสามารถเห็นได้ชัด

เจนเมื่อหุ่นยนต์เคลื่อนที่ในแนวแกน X ซึ่งเป็นผลมาจากการไม่เหมาะสมของโครงสร้างหุ่นยนต์ กลไกของล้อ และพื้นที่ที่ได้ทำการทดสอบ

8. สรุป

จากการทดสอบการควบคุมความเร็วและรีพีทอะเบลิตี้ (Repeatability) ของหุ่นยนต์ ความคลาดเคลื่อน(error) เกิดจากล้อทั้ง 4 ล้อของหุ่นยนต์ ไม่สัมพันธ์อยู่ตลอดเวลา เนื่องมาจาก การลื่นไถลของลูกกลิ้งกับพื้น การจัดสร้างกลไกของล้อ และโครงสร้างของหุ่นยนต์บางส่วนเกิดความผิดพลาดขึ้น นอกเหนือพื้นที่ที่ได้ทำการทดสอบก็มิได้เรียบตามสมมุติฐาน ซึ่งทำให้การเคลื่อนที่ในลักษณะต่างๆของหุ่นยนต์ มีความคลาดเคลื่อน

แนวทางการแก้ไขสามารถทำได้โดยติดตั้งระบบรองรับน้ำหนัก(suspension) เพื่อให้ล้อทั้ง 4 ล้อของหุ่นยนต์สัมพันธ์กับพื้นตลอดเวลา แม้ว่าพื้นที่ที่หุ่นยนต์เคลื่อนที่ไปจะไม่เรียบ ก็ตาม ซึ่งผู้วิจัยได้กำลังดำเนินการปรับปรุงอยู่ในขณะนี้

9. กิตติกรรมประกาศ

ผู้วิจัยขอแสดงความขอบคุณ มูลนิธิวิจัยเทคโนโลยีสารสนเทศ (Foundation for Research in Information Technology : FRIT) ที่ให้การสนับสนุนทุนวิจัย

10. เอกสารอ้างอิง

1. William L. Whittaker, Cognitive Robots for Construction, 1985 Annual Research Review, pp 11-14.
2. Diane J. Cook, Piotr Gmytrasiewicz, and Lawrence B. Holder, "Decision-Theoretic Cooperative Sensor Planning", IEEE Transactions on Pattern Analysis and Machine Intelligence, Vol. 18, pp.1013-1022.
3. Yoichiro Maeda, Minoru Tanabe, Morikazu Yuta, Tomohiro Takagi, "Hierarchical Control for Autonomous Mobile Robots with Behavior-Decision Fuzzy Algorithm", Proceedings of the 1992 IEEE International Conference on Robotics and Automation, pp.135-140.

4. Hideo Mori, "Recent Progress in Mobile Robot Harunobu-4", Vision-base Vehicle Guidance, pp. 204-221.
5. Dickerson, S.L. and Lapin, B.D., 1991, Control of an Omnidirectional Robotic Vehicle with Macanum Wheels, Atlanta, Georgia Institute of technology, pp. 0323-0328.
6. J.M.Holland,1983, Basic Robotic Concepts, Howard W.sams&Co., Indianapolis IN, pp.107-170.
7. Muir, P.F. and Neuman, C.P., 1986, Kinematic Modeling of Wheeled Mobile Robotics, Pittsburgh, Carnegie-Mellon University, pp. 5-41.
8. Francois G. Pin and Stephen M. Killough," A New Family an Omnidirectional and Holonomic Wheeled Platforms for Mobile Robot", IEEE TRANSACTIONS ON robotics and Automation, Vol. 10, August 1994, 480-489